УДК 629.7

# ФИЗИЧЕСКИЕ ПРОЦЕССЫ В СОЛНЕЧНЫХ ЭЛЕМЕНТАХ С ВНУТРЕННИМ ТЯНУЩИМ ПОЛЕМ

Ф.В. ГАСПАРЯН, В.М. АРУТЮНЯН, В.В. БУНИАТЯН

Ереванский государственный университет

(Поступила в редакцию 16 марта 2001 г.)

Рассмотрено влияние неравномерного (экспоненциального) распределения концентрации легирующих акцепторных примесей на ток короткого замыкания и напряжение холостого хода солнечного элемента на основе *p-n* перехода. Показано, что при этом создается дополнительное внутреннее тянущее поле, которое всегда способствует увеличению тока короткого замыкания, а при определенных условиях — росту напряжения холостого хода.

#### 1. Введение

Проблема увеличения коэффициента полезного действия (кпд) солнечных элементов (СЭ) на основе обычных р-п переходов интенсивно обсуждается уже много лет. Предлагаются новые материалы, различные конструкционные и технологические подходы и решения, новые физические принципы с целью повышения тока короткого замыкания, напряжения холостого хода, в целом фактора заполнения и кпд (см., например, [1-8]). Дальнейшее увеличение значения фактора заполнения (наибольшие значения которого уже достигают ~0,85) весьма затруднено. Значения напряжения холостого хода, определяемые контактной разностью потенциалов, ограничены выбором полупроводника и его удельным сопротивлением. В предлагаемых в [2,3,9] освещаемых с обеих сторон СЭ с р-і-п структурой рост тока короткого замыкания может быть значителен. Напряжение холостого хода в согласии с общими термодинамическими принципами изменяется очень слабо. Для увеличения тока замыкания p-n переход обычно располагается посредственно у поверхности (на глубине ~0,3-0,5 мкм) с целью уменьшения рекомбинационных потерь неосновных носителей тока, созданных солнечным излучением. Тонкий приповерхностный освещаемый слой создать довольно сложно (см., например, [10]), хотя это приводит к подавлению поверхностной рекомбинации, продвижению спектральной характеристики в сторону более коротких волн и увеличению кпд.

В настоящей работе предлагается создать в приповерхностном сравнительно "толстом" слое СЭ (с толщиной в несколько мкм) внутреннее тянущее поле с целью уменьшения рекомбинационных потерь фотогенерированных неосновных носителей тока. Для этого предлагается создать градиент концентрации легирующей акцепторной примеси в p-области p-n перехода. Созданное благодаря этому градиенту внутреннее тянущее поле ускорит движение фотогенерированных носителей и уменьшит время их пролета через приповерхностный слой, тем самым уменьшая рекомбинационные потери [1-9].

## 2. Анализ процессов в структуре

На рис.1 представлены структура (a), распределение легирующих примесей (б), внутреннее поле p-n перехода  $E_0$  и тянущее поле  $E_{\nabla}$  (в) в СЭ на основе p-n перехода. Здесь представлена также система координат, используемая в расчетах. Начало координат находится на границе технологического p-n перехода. На рис.1  $l_p$  и  $l_n$  — длины p- и n- областей;  $x_s$  и  $x_r$  — координаты для p- и n-областей, соответственно;  $N_A(x)$  и  $N_D$  — концентрации легирующих примесей.

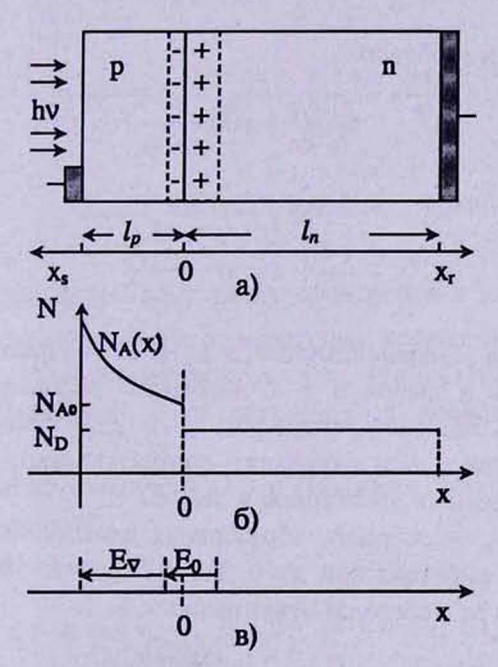


Рис.1. Структура (а), распределение легирующих примесей (б), внутреннее и тянущее поля (в) в *p-n* переходе.

Расчет плотности тока короткого замыкания  $j_{SC}$  и напряжения холостого хода  $U_{OC}$  выполняется по известной методике (см., например, [1-3]).

Предположим, что концентрация легирующих акцепторов изменяется по закону

$$N_A(x) = N_{A0} \exp(-\xi x)$$
, (1)

где  $\xi$  — некоторый параметр, определяющий темп изменения  $N_A(x)$ ,  $N_{A0}$  — концентрация акцепторов в плоскости перехода (x=0).

Внутреннее тянущее поле  $E_{\nabla}$  в *p*-области в случае полностью ионизированных примесей определим следующим образом:

$$E_{\nabla} = \frac{kT}{e} \frac{1}{N_A(x)} \frac{dN_A(x)}{dx}.$$
 (2)

Из (1) и (2) имеем

$$E_{\nabla} = -\xi \frac{kT}{e},\tag{3}$$

где k — постоянная Больцмана, T — абсолютная температура. По направлению поле  $E_{\nabla}$  совпадает с полем  $E_0$  и способствует улучшению коэффициента собирания фотогенерированных носителей тока.

Уравнения непрерывности для неосновных носителей имеют следующий вид: для электронов в *p*-области

$$-\frac{1}{e}\frac{\partial j_n}{\partial x} = g(x) - \frac{n - n_p}{\tau_n} , \qquad (4)$$

для дырок в п-области

$$\frac{1}{e}\frac{\partial j_p}{\partial x} = g(x) - \frac{p - p_n}{\tau_p} . \tag{5}$$

В (4) и (5) n и p — неравновесные, а  $n_p$  и  $p_n$  — равновесные концентрации электронов и дырок в p— и n—областях перехода, соответственно; g(x) — скорость световой генерации;  $j_n$  и  $j_p$  — плотности токов неосновных носителей в p— и n—областях, соответственно;  $\tau_n$  и  $\tau_p$  — времена жизни неравновесных электронов и дырок.

Пусть  $g_0$  — скорость образования электронно-дырочных пар в плоскости p-n перехода при x=0. Тогда скорость образования пар в n-области (справа от перехода) будет равна

$$g(x_r) = g_0 \exp(-\alpha x_r). \tag{6}$$

Слева от перехода (в р-области) будем иметь

$$g(x_s) = g_0 \exp(\alpha x_s). \tag{7}$$

В (6) и (7)  $\alpha$  – коэффициент собственного поглощения полупроводника. Тогда на поверхности p-области, на которую падает излучение,

$$g_s = g_0 \exp(\alpha l_p). \tag{8}$$

При квантовом выходе, равном единице,

$$g_s = \alpha I_0, \tag{9}$$

где І0 - интенсивность падающего излучения.

Отметим, что в p-области неосновные носители тока движутся как за счет диффузии, так и тянущего поля  $E_{\nabla}$ . В n-области дырки движутся только за счет диффузии. Соответственно, плотности токов неосновных носителей в p- и n-областях будут определяться выражениями

$$j_n = en\mu_n E_{\nabla} + eD_n \frac{\partial n}{\partial x}; \qquad j_p = -eD_p \frac{\partial p}{\partial x}. \tag{10}$$

Здесь  $\mu_n$  – подвижность электронов,  $D_n$  и  $D_p$  – коэффициенты диффузии электронов и дырок.

Для определения концентраций неравновесных носителей тока в p- и n-областях p – n перехода получим следующие дифференциальные уравнения:

$$\frac{d^{2}(n-n_{p})}{dx^{2}} - \xi \frac{d(n-n_{p})}{dx} - \frac{n-n_{p}}{L_{n}^{2}} + \frac{g(x)}{D_{n}} = 0,$$
 (11)

$$\frac{d^2(p-p_n)}{dx^2} - \frac{p-p_n}{L_p^2} + \frac{g(x)}{D_p} = 0.$$
 (12)

Здесь  $L_n$  и  $L_p$  – диффузионные длины электронов и дырок.

Отметим, что в отличие от известных уравнений (см., например, [1-3]), уравнения (11) и (12) отличаются тем, что в (11) появляется новый член, пропорциональный  $\xi$  и связанный с дрейфом электронов в p-области.

Для решения уравнений (11) и (12) нами использованы следующие граничные условия:

для уравнения (11)

$$p = p_n \exp\left(\frac{eU}{kT}\right), \quad x_r = 0; \quad \frac{\partial p}{\partial x} = 0, \quad x_r = l_n;$$
 (13)

для уравнения (12)

$$n = n_p \exp\left(\frac{eU}{kT}\right), \quad x_s = 0; \quad \frac{\partial n}{\partial x} = 0, \quad x_s = l_p.$$
 (14)

С учетом условий (13) и (14) решения уравнений (11) и (12), соот-

ветственно, будут иметь следующий вид:

$$p(x_r) = p_n + \left[ p_n \left( e^{\epsilon U/kT} - 1 \right) + \frac{g_0 \tau_p}{\left( \alpha L_p \right)^2 - 1} \right] \frac{\text{ch} \left[ \left( l_n - x_r \right) / L_p \right]}{\text{ch} \left( l_n / L_p \right)} - \frac{g_0 \tau_p}{\left( \alpha L_p \right)^2 - 1} \left[ \exp(-\alpha x_r) + \alpha L_p \exp(-\alpha L_n) \frac{\text{sh} \left( x_r / L_p \right)}{\text{ch} \left( l_n / L_p \right)} \right], \quad (15)$$

$$n(x_S) = n_p + \left[ n_p \left( e^{\epsilon U/kT} - 1 \right) + \frac{g_0 \tau_n}{\left( \alpha L_n \right)^2 - \xi \alpha L_n^2 - 1} \right] \times \frac{2\text{ch} \left[ \left( l_p - x_s \right) / L_{n,\nabla} \right] - \xi L_{n,\nabla} \text{sh} \left[ \left( l_p - x_s \right) / L_{n,\nabla} \right]}{2 \exp(-\xi x_S / 2) \text{ch} \left( l_p / L_n \right)} - \frac{g_0 \tau_n}{2\text{ch} \left( l_p / L_n \right)} \left[ \exp(\alpha x_s) - \frac{2\alpha L_{n,\nabla} \exp[\alpha l_p - \xi \left( l_p - x_s \right) / 2 \right] \text{sh} \left( x_s / L_{n,\nabla} \right)}{2\text{ch} \left( l_n / L_{n,\nabla} \right) + \xi L_{n,\nabla} \text{sh} \left( l_p / L_{n,\nabla} \right)} \right]. \quad (16)$$

Подставляя значения p и n в уравнения (10), получим для плотности тока через плоскость технологического перехода следующее выражение:

$$j = j_n(x_s = 0) + j_p(x_r = 0) = j_\nabla + eg_0(L_1 + L_2) + (eg_n L'_n - eg_p L'_p + j_\nabla)(e^{eU/kT} - 1), (17)$$

где

$$\begin{split} j_{\nabla} &= \xi k T \mu_n n_p \, ; \quad g_n = \frac{n_p}{\tau_n} \, ; \quad g_p = \frac{p_n}{\tau_p} \, ; \\ L'_n &= \frac{L_n^2}{L_{n,\nabla}} \frac{\left(\xi \; L_{n,\nabla}/2\right)^2 - 1}{\text{cth} \left(l_p / L_{n,\nabla}\right) - \xi \; L_{n,\nabla}/2} \, ; \quad L'_p = L_p \, \text{th} \left(\frac{l_n}{L_p}\right) \, ; \quad L_{n,\nabla} = L_n \sqrt{1 + \left(\frac{\xi L_n}{2}\right)^2} \, ; \\ L_1 &= \frac{L_n}{\left(\alpha L_n\right)^2 + \xi \alpha L_n^2 - 1} \\ \frac{\alpha L_n \; \exp\left[\left(\alpha + \xi / 2\right) l_p\right] + \frac{L_n}{L_{n,\nabla}} \left[\left(\frac{\xi \; L_{n,\nabla}}{2}\right)^2 - 1\right] \text{sh} \left(\frac{l_p}{L_{n,\nabla}}\right)}{\text{ch} \left(l_p / L_{n,\nabla}\right) - \frac{\xi \; L_{n,\nabla}}{2} \, \text{sh} \left(\frac{l_p}{L_{n,\nabla}}\right)} - \alpha \; L_n} \, \right] \, ; \\ L_2 &= \frac{L_p}{\left(\alpha L_p\right)^2 - 1} \left[\frac{\alpha L_p \; \exp(-\alpha l_n)}{\text{ch} \left(l_n / L_p\right)} - \alpha L_p + \text{th} \left(\frac{l_n}{L_p}\right)\right] \, . \end{split}$$

Приняв в (17) j=0, определим выражение для напряжения холостого хода  $U_{OC}$ , а при U=0 из (17) получим выражение для плотности тока короткого замыкания  $j_{SC}$ :

$$U_{OC} = \frac{kT}{e} \ln \left[ 1 + \frac{eg_0(L_1 + L_2) + j_{\nabla}}{eg_p L'_p - eg_n L'_n - j_{\nabla}} \right], \tag{18}$$

$$j_{SC} = eg_0(L_1 + L_2) + j_{\nabla}. \tag{19}$$

При условии  $j_{\nabla} = 0$ , т.е. при  $\xi = 0$  (отсутствие градиента концентрации легирующих акцепторных примесей) выражения (18) и (19) переходят в известные для обычного p-n перехода выражения [1,2].

Наличие внутреннего тянущего поля  $E_{\nabla}$  в p-области, как и ожидалось, способствует образованию соответствующего тока  $j_{\nabla}$ , что увеличивает значение  $j_{SC}$ . При этом одновременно может уменьшаться  $U_{OC}$  (хотя и слабее).

Рост тока короткого замыкания составляет

$$\gamma = 1 + \frac{j_{\nabla}}{eg_0(L_1 + L_2)}$$

раза, а напряжение холостого хода изменяется в

$$\beta = \ln \left[ 1 + \frac{eg_0(L_1 + L_2) + j_{\nabla}}{eg_p L'_p - eg_n L'_n - j_{\nabla}} \right] / \ln \left[ 1 + \frac{eg_0(L_1 + L_2)}{eg_p L'_p - eg_n L'_n} \right]$$

раз.

## 3. Обсуждение

Обсуждение полученных результатов проведем на примере кремниевых p-n переходов. На рис.2-4 представлены зависимости  $\gamma(\xi)$ ,  $\beta(\xi)$  и произведения  $\beta(\xi)\gamma(\xi)$ . Графики на рис.2-4 построены для случая однократного Солнца при следующих параметрах кремния:  $\alpha=500\,\mathrm{cm}^{-1}$ ,  $D_n=35\,\mathrm{cm}^2/\mathrm{c}$ ,  $D_p=13,1\,\mathrm{cm}^2/\mathrm{c}$ ,  $\mu_n=1350\,\mathrm{cm}^2/\mathrm{B}\cdot\mathrm{c}$ ,  $\mu_p=480\,\mathrm{cm}^2/\mathrm{B}\cdot\mathrm{c}$ ,  $l_n=5\cdot10^{-3}\mathrm{cm}$ ,  $l_p=5\cdot10^{-4}\mathrm{cm}$ . Расчеты проведены при комнатной температуре, интенсивности падающего излучения  $I_0=W/hv=5,1085\cdot10^{17}$  фотон/см<sup>2</sup>с (при W=0,1 Вт/см<sup>2</sup>, hv=1,2 эВ). Кривые на рис.2-4 построены для разных времен жизни электронов и дырок: кр. $1-\tau_n=\tau_p=10^{-6}\,\mathrm{c}$ , кр. $2-\tau_n=\tau_p=10^{-5}\,\mathrm{c}$ , кр. $3-\tau_n=\tau_p=10^{-4}\,\mathrm{c}$ .

Анализ кривых рис.2-4 показывает:

1. Как и ожидалось, ток короткого замыкания растет при наличии тянущего поля. Параметр  $\gamma$  растет с ростом  $\xi$ , принимает максимальное значение при  $l_p \xi \approx 1$  и насыщается после  $\xi \geq 10^4$  см<sup>-1</sup>. С ростом удельного сопротивления  $\rho$  кремния  $\gamma$  изменяется слабо, незначительно уменьшаясь при  $\rho \geq 10$  Ом-см. Максимальное значение  $\gamma_{\text{max}} \approx 1,72$ , т.е. ток короткого замыкания при наличии внутреннего тянущего поля увеличивается почти на 72%. С ростом длины диффузии неосновных носителей тока (или  $\tau_n$  и  $\tau_p$ )  $\gamma$  уменьшается.

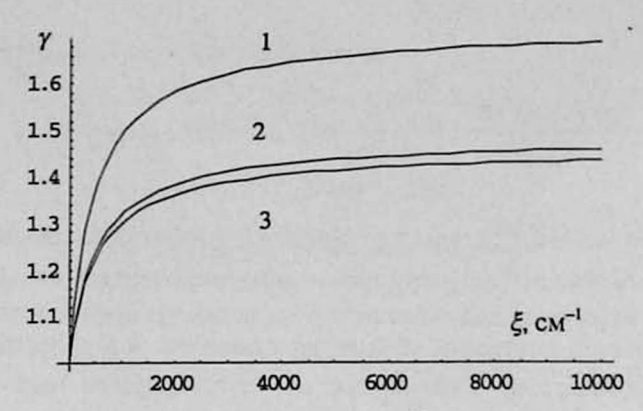


Рис.2. Зависимость параметра  $\gamma$  от  $\xi$  при удельном сопротивлении  $\rho=1$  Ом · см.

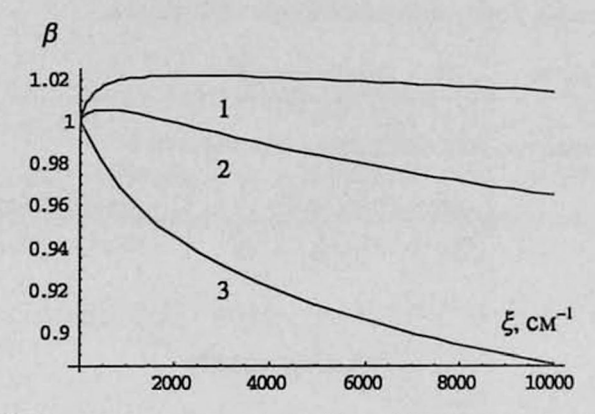


Рис.3. Зависимость параметра  $\beta$  от  $\xi$  при удельном сопротивлении  $\rho=1$  Ом-см.

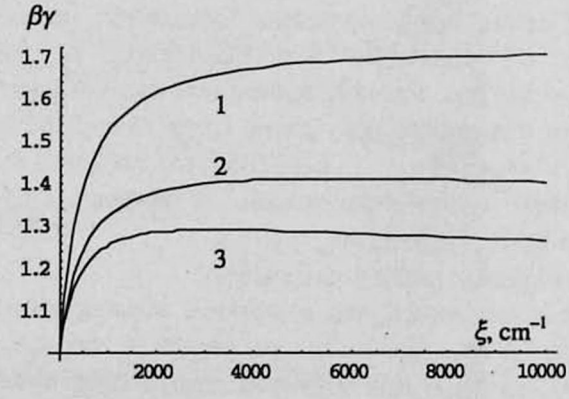


Рис.4. Зависимость произведения  $\beta \gamma$  от  $\xi$  при удельном сопротивлении  $\rho = 1$  Ом-см.

2. Параметр  $\beta$  в основном есть убывающая функция от  $\xi$ , хотя при сравнительно малых временах жизни неосновных носителей  $\beta$ 

имеет максимум, который усиливается при  $\rho=1$  Ом·см. Отметим, что при  $\rho=1$  Ом·см и  $\tau_n=\tau_p=10^{-6}\,\mathrm{c}$  в области значений  $0<\xi\leq 10^4\,\mathrm{cm}^{-1}$  параметр  $\beta$  всегда больше единицы, а  $\beta_{\mathrm{max}}=1,02$  при  $\xi\approx 1500\,\mathrm{cm}^{-1}$ . Ожидалось, что наличие тянущих полей должно уменьшить  $U_{OC}$ , т.е.  $\beta$  [1]. Однако, при определенных областях значений  $\rho$  и  $\xi$  возможно получение положительного эффекта, т.е. значения  $\beta>1$ .

3. Произведение  $\beta \gamma$  ведет себя в основном аналогично зависимости  $\gamma(\xi)$ . Значения произведения  $\beta \gamma$  всегда больше единицы и при определенных параметрах полупроводника  $\beta \gamma$  может достичь значения 1,72. Таким образом, с помощью создания внутреннего тянущего поля можно существенно увеличить кпд солнечнего элемента (при выбранных нами параметрах полупроводника почти на 72%). Произведение  $\beta \gamma$  имеет наилучшие значения при  $\rho = 1$  Ом-см.

Некоторое уменьшение  $\gamma$  и  $\beta$  с ростом  $L_n$  и  $L_p$  можно объснить следующим образом. При отсутствии градиента  $N_A(x)$  с ростом  $L_n$  и  $L_p$ , естественно, увеличивается ток короткого замыкания. При наличии градиента  $N_A(x)$ , созданное им тянущее поле как бы компенсирует роль влияния  $L_n$  и  $L_p$  на  $j_{SC}$ . При этом, как видно также из рис.2-4, при слабых градиентах ( $\xi \le 100 \, \text{cm}^{-1}$ ) различие между кривыми 1, 2 и 3 составляет всего ~4-5%, тогда как при сильных градиентах "подавление" положительной роли роста  $L_n$  и  $L_p$  тянущим полем все более усиливается и доходит до ~15% (при  $\xi \ge 10^4 \, \text{cm}^{-1}$ ).

Данная работа выполнена в рамках гранта МНТЦ А-322.

#### ЛИТЕРАТУРА

- A.L. Fahrenbruch, R.H. Bube. Fundamentals of solar cells. New York, Acad. Press, 1983.
- M.D.Archer, J.R.Bolton, S.T.C.Siklos. Solar Energy Materials and Solar Cells, 40, 133 (1996).
- Ф.В.Гаспарян. В сб. Полупроводниковая микроэлектроника. Ереван, изд. ЕГУ, 1999, с.139.
- 4. W.Wettling. Solar Energy Materials and Solar Cells, 38, 487 (1995).
- A.V.Shah, R.Platz, H.Keppner. Solar Energy Materials and Solar Cells, 38, 501 (1995).
- A.G.Aberle et al. J. Appl. Phys., 77, 3491 (1995).
- В.М.Андреев. ФТП, 33, 1035 (1999).
- 8. H. Wagner. Phys. Stat. Solidi (b), 192, 229 (1995).
- F.V.Gasparyan, V.M.Aroutiounian. Solar Energy Materials and Solar Cells (2001) (в печати).
- 10. V.M.Aroutiounian, G.K.Berberian. Sensors and Actuators, A32, 450 (1992).

## 

**Ֆ.Վ. ԳԱՍՊԱՐՅԱՆ, Վ.Մ. ՀԱՐՈՒԹՅՈՒՆՅԱՆ, Վ.Վ. ԲՈՒՆԻԱԹՅԱՆ** 

Քննարկված է p-n անցման լուսավորվող p-տիրույթում ակցեպտորային խառնուրդների էքսպոնենցիալ բաշխման ազդեցությունը p-n անցման հիման վրա պատրաստված արեգակնային էլեմենտի կարճ միացման հոսանքի և պարապ ընթացքի լարման վրա։ Ցույց է տրված, որ այդպիսի բաշխումը հանգեցնում է ոչ հիմնական լիցքակիրներին ձգող ներքին դաշտի առաջացման և արեգակնային էլեմենտի օգտակար գործողության գործակցի աճի։

## PHYSICAL PROCESSES IN SOLAR CELLS WITH INTERNAL DRAVING FIELD

### F.V. GASPARYAN, V.M. AROUTIOUNIAN, V.V. BUNIATYAN

The short circuit current, open circuit voltage and efficiency of a solar cell on the base of p-n junction at the exponential distribution of the acceptor impurity concentration in the p-region are discussed. It is shown that in the p-region the draving field for the minority carriers is formed and the values of the short circuit current and efficiency for the silicon solar cell are increased up to 72%.